

УДК 536.4132 : 541.444

© 1991

ТЕПЛОВОЕ РАСШИРЕНИЕ ГИДРИДОВ НИОБИЯ NbH_{0.78} И NbH_{0.86} ПРИ 77—430 К

Н. И. Сорокина, О. В. Басаргин, В. И. Савин

Получены температурные зависимости коэффициентов линейного расширения гидридов ниобия NbH_{0.78} и NbH_{0.86} при 77—430 К. Определены скачки объемов $\Delta V/V_0$ для фазовых переходов $\alpha' \rightarrow \beta$ и $\beta \rightarrow \lambda + \epsilon$, $\beta \rightarrow \lambda$. Оценен параметр Грюнайзена для β -фазы NbH_{0.78} $\gamma_0 = 1.05 \pm 0.16$ при 300 К.

1. Хорошо известно, что поглощение водорода вызывает расширение решетки металла-растворителя. В случае ниобия водород внедряется в тетраэдрические пустоты ОЦК решетки, и при составе NbH (1 : 1) объем гидрида увеличивается на $\sim 17\%$ [1]. Внедренный атом водорода вызывает смещение атомов металла из их равновесных положений, и возникающие искажения кристаллической решетки приводят к целому ряду изменений физических свойств металла. Так, в гидридах ниобия изменяется фоновый спектр (появляются два оптических пика с частотами ~ 1400 и ~ 1900 К довольно большой ширины); дебаевская температура Θ_D NbH_x ($x > 0.7$), определенная из измерений удельной теплоемкости в температурном интервале 1.5—16 К, равна ~ 360 К, что в 1.5 раза больше Θ_D _{Nb} = 245 К [2]. Модуль объемной упругости NbH_{0.75} при комнатной температуре, определенный из уравнения Мурнагана—Берча на основании рентгеновских данных при давлении до 600 кбар, равен $k \sim 1.98$ Мбар, что больше $B_{Nb} = 1.70$ Мбар [3].

В то же время в гидриде палладия, где водород находится в октаэдрических пустотах ГЦК решетки Pd, при поглощении водорода (при составе PdH) объем гидрида увеличивается на $\sim 19\%$ [1]. Фоновый спектр смягчается, частоты оптических колебаний водорода ниже, чем в NbH, и равны ~ 650 и ~ 910 К; дебаевская температура PdH_{0.66}, определенная из ультразвуковых измерений, почти равна Θ_D чистого палладия ($\Theta_D = 276$ К) при 0 К. Модуль объемной упругости гидрида палладия падает, и для PdH_{0.72} при 250 К равен $k = 1.73$ Мбар, $B_{Pd} = 1.95$ Мбар [4].

Наиболее полно изучено тепловое расширение β -фазы Pd—H(D) сплава [5]. Оно сильно увеличивается по сравнению с чистым палладием. Так, при 250 К

	Pd	PdH _{0.77}	PdD _{0.77}
$\alpha (K^{-1}) \cdot 10^{-6}$	11.0 ± 0.6	17.7 ± 0.9	20.1 ± 1.0

Постоянная Грюнайзена β -PdH(D) $\gamma_{ac} = 3.0 \pm 0.5$ для акустических фонаров больше, чем у палладия $\gamma_{Pd} = 2.3$.

Для гидридов ниобия известна лишь одна работа по тепловому расширению NbH_{0.31} в области α -фазы при 548—698 К [6]; у NbH_{0.31} $\alpha_T = (10.8 \pm 0.2) \cdot 10^{-6} K^{-1}$, у Nb $\alpha_T = (7.84 \pm 0.2) \cdot 10^{-6} K^{-1}$. Поэтому мы решили исследовать тепловое расширение гидридов ниобия различной концентрации при 77—430 К в области как высоко-, так и низкотемпературных фазовых переходов (ФП).

Согласно фазовой диаграмме Nb—H, построенной на основании скачков электросопротивления гидридов ниобия [7], в $\text{NbH}_{0.78}$ и $\text{NbH}_{0.88}$ при охлаждении от 430 К происходит ряд ФП $\alpha' \rightarrow \beta \rightarrow \lambda$. Высокотемпературная α' -фаза — неупорядоченный раствор водорода в ОЦК решетки ниобия, где водород распределен хаотически по тетраэдрическим междоузлиям решетки матрицы; β -фаза — ГЦР с увеличенной по сравнению с чистым ниобием ячейкой, где атомы водорода находятся в тетрапорах на плоскостях (110) исходной решетки ниобия. В водородной подрешетке NbH_x (при $x < 1$) имеются ваканции, и при дальнейшем охлаждении происходят ФП, связанные с перераспределением водорода и водородных вакансий. При $T < 230$ К β -фаза переходит полностью или частично в λ -фазу. Структура λ -фазы полностью не определена, но на основании данных по электронной дифракции на фольгах гидрида ниобия установлено, что решеточная переодичность в $[100]_c$ и $[010]_c$ не изменяется при $\beta \rightarrow \lambda$.

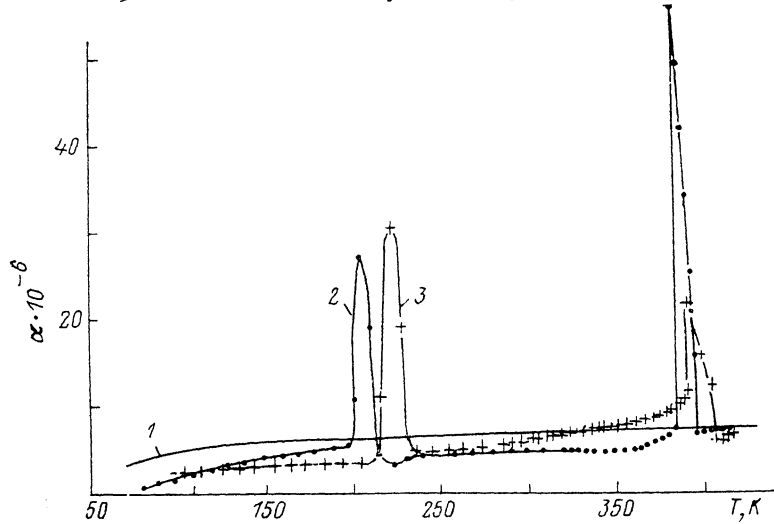


Рис. 1. Температурная зависимость коэффициентов линейного расширения α гидридов ниобия: чистого ниобия $[10]$ (1), $\text{NbH}_{0.78}$ (2), $\text{NbH}_{0.88}$ (3).

переходе, в то время как в направлении $[001]_c$ решеточный параметр увеличивается [8]. Пробная модель λ -фазы характеризуется серией длинно-периодных сверхрешеток, повторяемость которых зависит от состава. В этой же работе [8] указывалось, что переход $\beta \rightarrow \lambda$ первого рода, поскольку наблюдалась двухфазная область $\beta + \lambda$ в районе этого ФП. В то же время ниобий при 77—430 К имеет ОЦК решетку. Поэтому, строго говоря, сравнение коэффициентов теплового расширения (КТР) гидридов и ниобия возможно только в α' -фазе. Однако данные по КТР для других фаз NbH_x могут представлять и самостоятельный интерес.

2. Исследуемые образцы гидридов изготовлены из монокристалла ниобия с $\rho_{300 \text{ K}} / \rho_{10 \text{ K}} = 56$ в виде цилиндров диаметром 4 и длиной ~ 20 мм, протидирированы при температуре $\sim 850^\circ\text{C}$ и давлении водорода до 5 атм, время выдержки ~ 2 ч. Содержание водорода определялось по изменению веса образца с погрешностью не более 5 %. Состав гидридов уточнялся по измерениям удельного электросопротивления при 405 К [7], термоэдс в α' -фазе [9], по определению фазовых границ $\beta \rightarrow \alpha'$ методом микрокалориметрии [10]. Считаем, что указанная концентрация гидридов определена с точностью $\pm 1\%$.

Следует отметить, что образование орторомбической структуры (β -фаза) NbH_x приводит к многодоменнности образца, хотя исходный ниобий — монокристалл. Возникновение доменной структуры — следствие некогерентной связи двух решеток разной симметрии (кубической—металла и ромбической—гидрида) [1].

Измерения температурных коэффициентов линейного расширения $\alpha = (1/l_0)/(dl/dT)$ (ТКЛР) были проведены на дилатометре Л75/80 фирмы «Linseis» (ФРГ). Погрешность определения Δl не более $0.05 \cdot 10^{-6}$ м, температуры — 0.1 К; измерения проводились в гелиевой атмосфере, скорость нагрева и охлаждения 2—5 К/мин. Результаты измерений обсчитывались в диапазоне 77—300 К через 10 К, при 300—430 К — через 1 К, в районе ФП — через 2 К.

Результаты измерений ТКЛР гидридов ниобия приведены на рис. 1.

Отметим, что во всей температурной области КТР гидридов ниобия для всех фаз намного меньше чистого ниобия и сильно зависит от концентрации водорода.

Рассмотрим поведение КТР гидридов ниобия в фазах α' , β , λ .

В α'' -фазе ($T > 380$ К) α исследуемых гидридов меньше ниобия и падает с увеличением концентрации водорода. ФП $\beta \rightarrow \alpha'$ в $\text{Nb}-\text{H}$ изучен наиболее полно — это ФП первого рода, идущий с поглощением тепла [1]. В табл. 1 приведены температуры начала и конца переходов при нагревании и охлаждении со скоростью 2 К/мин, скачки объемов $\Delta V/V_0 \sim 3\Delta l/l_0$ (l_0 — длина образца при 300 К) для исследуемых образцов гидридов.

В области 240—380 К гидриды ниобия представляют собой β -фазу. Однако температурный ход $\alpha(T)$ у них разный — почти не зависит от температуры α у $\text{NbH}_{0.78}$, а $\text{NbH}_{0.86}$ обнаруживает сильную температурную зависимость. В работе Вакса и Зинченко [12] приводятся концентрационные зависимости параметров порядка в водородной подрешетке β -фазы NbH_x (рис. 2). Экспериментально параметр порядка ξ оценивается из данных о тетрагональной деформации в β -фазе, а величина ρ — амплитуда концентрационной волны водородной плотности в плоскостях (110), $\rho^2 \sim$ интенсивности сверхструктурных отражений. На основании измерений концентрационной зависимости скачка энтропии при $\beta \rightarrow \alpha'$ переходе в NbH_x (в том числе и на исследуемых в данной работе $\text{NbH}_{0.78}$ и $\text{NbH}_{0.86}$) нашли, что начало скачка параметров порядка (кривые C и D на рис. 2) смещено в сторону больших концентраций — при $x=0.82$ [10]. Так что $\text{NbH}_{0.86}$ находится на середине скачка, это довольно неустойчивое состояние по отношению к распределению соответствующих волн концентрационной плотности. Этим, вероятно, можно объяснить заметную температурную зависимость $\alpha(T)$ у $\text{NbH}_{0.86}$ в β -фазе. Параметры порядка $\text{NbH}_{0.78}$ лежат на нижних частях кривых C и D и довольно устойчивы к изменениям концентрации и, возможно, температуры.

В температурном интервале 77—240 К $\text{NbH}_{0.78}$ имеет двухфазную область $\lambda+\epsilon$, а $\text{NbH}_{0.86}$ — λ -фазу. ТКЛР гидридов в этой области противоположен поведению в β -фазе, т. е. $\alpha(T)$ у $\text{NbH}_{0.78}$ зависит заметно от температуры, у $\text{NbH}_{0.86}$ — почти не изменяется при нагревании. Нам не по-

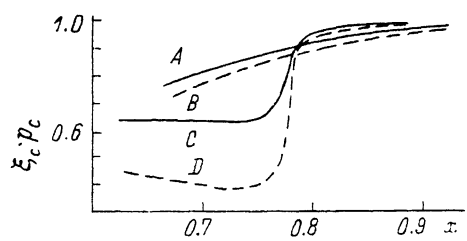


Рис. 2. Скачки параметров порядка $\xi(x)$ и $\rho(r)$ в β -фазе NbH_x [12].

Таблица 1
 $\beta \rightarrow \alpha'$

T, К		Гистерезис, К	$T_{\text{пер.}}$, К	$\frac{\Delta V}{V_0}$, %
нагрев	охлаждение			
$\text{NbH}_{0.78}$	385.7—393.2	8.2	385.2	0.11 ± 0.005
$\text{NbH}_{0.86}$	388—406	16	389	0.08 ± 0.005

нятны причины большей чувствительности α к температуре у $\text{NbH}_{0.78}$. Возможно, что $\text{NbH}_{0.78}$ в области $\beta + \epsilon$ -фаз более неупорядочен, чем $\text{NbH}_{0.86}$, и содержит больше вакансий в водородной подрешетке. Из исследований теплопроводности $K(T)$ этих гидридов при 4.2—430 К [13] было обнаружено, что температура максимума K_p , где преобладает рассеяние на примесях и дефектах, у гидридов разная — у чистого ниобия ~14 К, у $\text{NbH}_{0.86}$ ~30 К, а у $\text{NbH}_{0.78}$ ~60 К и довольно размытой максимум. Наличие небольшого провала при $T \sim 220$ К у $\text{NbH}_{0.78}$ на кривой $\alpha(T)$ также говорит о переходе в неупорядоченное состояние.

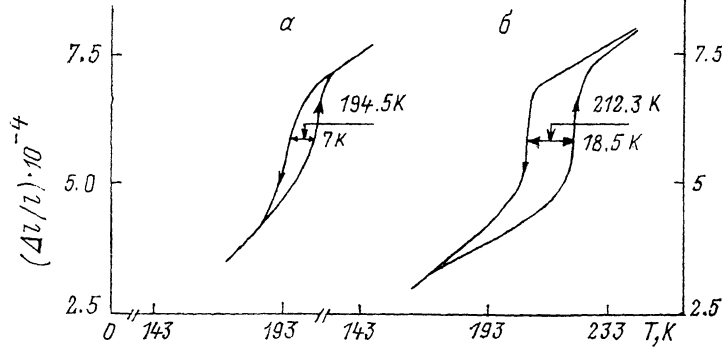


Рис. 3. Относительное изменение длины $\Delta l/l_0$ гидридов ниобия при фазовых переходах у $\text{NbH}_{0.78}$ $\beta \rightarrow \beta + \epsilon$ (а) для $\text{NbH}_{0.86}$ $\beta \rightarrow \lambda$ (б).

На рис. 3 представлены изменения относительного удлинения $\Delta l/l_0$ гидридов ниобия при ФП $\beta \rightarrow \beta + \epsilon$, $\beta \rightarrow \lambda$. Видно, что оба перехода первого рода со скачком объема и гистерезисом. В табл. 2 приведены температуры начала и конца переходов при нагревании и охлаждении со скоростью 2 К/мин, скачки объемов $\Delta V/V_0 \sim 3\Delta l/l_0$ при этих фазовых переходах.

Отметим, что ширина перехода $\beta \rightarrow \lambda$ у $\text{NbH}_{0.86}$ в ~2 раза уже, чем у $\text{NbH}_{0.78}$, а гистерезис больше в 2.5 раза.

Таблица 2

	T, K		$\frac{\Delta V}{V_0}$, %
	нагрев	охлаждение	
$\text{NbH}_{0.78}$	$\beta \rightarrow \lambda \rightarrow \xi$ 180—202	210—186	0.06 ± 0.005
	$\beta \rightarrow \lambda$ 216—225	208—198	0.08 ± 0.005

Температура ФП $\beta \rightarrow \lambda$, определенная из положения скачков относительного удлинения гидридов, неплохо согласуется с низкотемпературной частью фазовой диаграммы $T-x$ Nb—H из работы [7]: лучше — для $\text{NbH}_{0.86}$ (переход при нагревании), хуже — для $\text{NbH}_{0.78}$. Возможно, это связано с наличием легких примесей углерода, азота, кислорода (не более 0.3 ат. %).

Мы определили постоянную Грюнайзена (термодинамическую) $\gamma_0 = 3\alpha VB/C$, для $\text{NbH}_{0.78}$ при 300 К, используя следующие данные: $B=198 \pm 0.3$ (Дж/м³) · 10⁹ [3], $\alpha=(4.7 \pm 0.047) \cdot 10^{-6}$ К⁻¹, $V=(12 \pm 1.2)$ см³/моль [1], $C_p \sim 32$ Дж/моль·К для $\text{NbH}_{0.86}$ из работы [14], оценив разницу между C_p для $\text{NbH}_{0.78}$ и $\text{NbH}_{0.86}$ в 5 %, получили $\gamma_0=1.05 \pm 0.16$, что значительно меньше $\gamma=1.68 \pm 0.3$ для чистого ниобия. Чтобы более точно определить

постоянную Грюнайзена для NbH_x нужны данные о зависимости B_t и C_p гидридов от концентрации водорода.
В заключение авторы благодарят за ценные советы при обсуждении результатов работы В. Г. Вакса, С. И. Новикову, А. П. Кочкина.

С п и с о к л и т е р а т у р ы

- [1] Водород в металлах: Пер. с англ. М., 1981. Т. I и II.
- [2] Ohlendorf O., Wicke E. // J. Phys. Chem. Solids. 1979. V. 40. N 10. P. 721—728.
- [3] Fukizawa A., Fukai Y. // J. Phys. Soc. Japan. 1983. V. 52. N 6. P. 2102—2107.
- [4] Geerken B. M., Griessen R., L. M. Huisman, Walker E. // Phys. Rev. B. 1982. V. 26. N 4. P. 1637—49.
- [5] Abelnseth R., Wipf H. // J. Phys. F: Metal Phys. 1980. V. 10. N 3. P. 353—66.
- [6] Zabel H., Peisl J. // J. Phys. F: Metal Phys. 1979. V. 9. N 7. P. 1461—76.
- [7] Welter J. M., Schödube F. // J. Phys. F: Metal Phys. 1983. V. 13. N 2. P. 529—537.
- [8] Makenas B. J., Birnbaum H. K. // Acta Met. 1982. V. 30. N 2. P. 469—481.
- [9] Сорокина Н. И. // ФТТ. 1989. Т. 31. № 9. С. 123—127.
- [10] Новикова С. И. // Тепловое расширение твердых тел. М., 1974. С. 173.
- [11] Сорокина Н. И., Александрова М. М. // ФТТ. 1991. № 8. С. 2483—2485.
- [12] Vaks V. G., Zinenko V. I. // J. Phys. Condens. Matter. 1989. V. 1. N 46. P. 9085—9100.
- [13] Misiorek H., Sorokina N. I., Mucha J., Jeżowski A. // J. Less-Common Metals. 1991. (in press).
- [14] Bieganski Z., Stalinski B. // Bull. Acad. Polon. Sci. Ser. Sci. Chim. 1961. V. 9. N 5. P. 367—374.

Институт физики высоких давлений
им. Л. Ф. Верещагина
Троицк
Московская обл.

Поступило в Редакцию
11 июня 1991 г.